

Métodos do tipo Newton Inexato para Problemas Inversos

Fábio J. Margotti

Universidade Federal de Santa Catarina

Florianópolis, setembro de 2011

Sumário

- 1 Problemas Inversos Mal Postos
 - Resolução de Problemas Inversos
- 2 REGINN
 - Análise de Convergência
 - Taxas de Convergência
- 3 Implementação Numérica do REGINN
 - O Problema Inverso
 - Descrição do Algoritmo
 - Resultados Numéricos
- 4 K-Reginn
 - Métodos tipo Kaczmarz
 - Descrição do Algoritmo
 - O Problema Inverso
 - Resultados Numéricos

Sumário

- 1 **Problemas Inversos Mal Postos**
 - Resolução de Problemas Inversos
- 2 REGINN
 - Análise de Convergência
 - Taxas de Convergência
- 3 Implementação Numérica do REGINN
 - O Problema Inverso
 - Descrição do Algoritmo
 - Resultados Numéricos
- 4 K-Reginn
 - Métodos tipo Kaczmarz
 - Descrição do Algoritmo
 - O Problema Inverso
 - Resultados Numéricos

Problemas Inversos Mal Postos

Sejam X e Y espaços de Hilbert e $F : D(F) \rightarrow Y$ uma função com $D(F) \subset X$ aberto. Considere a equação

$$F(x) = y, \quad (1)$$

O **problema direto** associado a equação (1) consiste em encontrar o vetor $y \in Y$, supondo-se conhecido o vetor $x \in D(F)$ e a função F .

O **problema inverso** associado a essa equação consiste na determinação de algum vetor $x \in D(F)$ (caso exista), conhecendo-se o vetor $y \in Y$ e a função F .

Problemas Inversos Mal Postos

Sejam X e Y espaços de Hilbert e $F : D(F) \rightarrow Y$ uma função com $D(F) \subset X$ aberto. Considere a equação

$$F(x) = y, \tag{1}$$

O **problema direto** associado a equação (1) consiste em encontrar o vetor $y \in Y$, supondo-se conhecido o vetor $x \in D(F)$ e a função F .

O **problema inverso** associado a essa equação consiste na determinação de algum vetor $x \in D(F)$ (caso exista), conhecendo-se o vetor $y \in Y$ e a função F .

Problemas Inversos Mal Postos

Definição

O problema inverso (1) é **bem posto** (no sentido de Hadamard) se

(i) (sobrejetividade): Para todo $y \in Y$, existe pelo menos um $x \in D(F)$ tal que a igualdade (1) é verificada;

(ii) (injetividade): Para todo $y \in Y$, existe no máximo um $x \in D(F)$ tal que a igualdade (1) é verificada;

(iii) (estabilidade): Para toda sequência $(x_k) \subset D(F)$ com $F(x_k) \rightarrow y$, temos que $x_k \rightarrow x$.

Um problema inverso é **mal posto** se ele não for bem posto.

Portanto, o problema inverso (1) é bem posto se F é inversível e sua inversa é sequencialmente contínua.

Sumário

- 1 Problemas Inversos Mal Postos
 - Resolução de Problemas Inversos
- 2 REGINN
 - Análise de Convergência
 - Taxas de Convergência
- 3 Implementação Numérica do REGINN
 - O Problema Inverso
 - Descrição do Algoritmo
 - Resultados Numéricos
- 4 K-Reginn
 - Métodos tipo Kaczmarz
 - Descrição do Algoritmo
 - O Problema Inverso
 - Resultados Numéricos

Resolução de Problemas Inversos

Suponha que o problema inverso (1) seja mal posto e suponha que para cada $y \in Y$ fixado, existe um $\rho > 0$ de tal modo que

$$F(x^+) = y$$

seja a única solução de (1) na bola $B_\rho(x^+) \subset D(F)$ de centro em x^+ e raio ρ .

Objetivo: Dado o nível de ruídos $\delta > 0$ e o vetor contaminado por ruídos $y^\delta \in Y$ satisfazendo

$$\|y - y^\delta\| \leq \delta,$$

encontre $x_\delta \in D(F)$ tal que a **propriedade de regularização**

$$x_\delta \longrightarrow x^+ \text{ quando } \delta \longrightarrow 0, \quad (2)$$

seja satisfeita.

Resolução de Problemas Inversos

Suponha que o problema inverso (1) seja mal posto e suponha que para cada $y \in Y$ fixado, existe um $\rho > 0$ de tal modo que

$$F(x^+) = y$$

seja a única solução de (1) na bola $B_\rho(x^+) \subset D(F)$ de centro em x^+ e raio ρ .

Objetivo: Dado o nível de ruídos $\delta > 0$ e o vetor contaminado por ruídos $y^\delta \in Y$ satisfazendo

$$\|y - y^\delta\| \leq \delta,$$

encontre $x_\delta \in D(F)$ tal que a **propriedade de regularização**

$$x_\delta \longrightarrow x^+ \text{ quando } \delta \longrightarrow 0, \quad (2)$$

seja satisfeita.

Sumário

- 1 Problemas Inversos Mal Postos
 - Resolução de Problemas Inversos
- 2 REGINN
 - Análise de Convergência
 - Taxas de Convergência
- 3 Implementação Numérica do REGINN
 - O Problema Inverso
 - Descrição do Algoritmo
 - Resultados Numéricos
- 4 K-Reginn
 - Métodos tipo Kaczmarz
 - Descrição do Algoritmo
 - O Problema Inverso
 - Resultados Numéricos

Método de Newton (Dados sem ruídos)

Aplicando o método de Newton à equação $y - F(x) = 0$ obtemos

Algoritmo (Newton)

Dados (x_0, F, y)

Para $n = 0, 1, 2, \dots$

Calcule $s_n \in X$ tal que $A_n s_n = b_n$;

$x_{n+1} := x_n + s_n$;

$n = n + 1$;

Até que algum critério de parada seja atingido

Utilizamos: $A_n := F'(x_n)$ e $b_n := y - F(x_n)$.

REGINN

O n -ésimo passo de Newton é determinado resolvendo-se a equação

$$A_n s_n = b_n.$$

Para determinar o n -ésimo passo do REGINN, deve-se resolver

$$A_n s_n = b_n^\delta + r_n,$$

onde $\frac{\|r_n\|}{\|b_n^\delta\|} < \mu_n \leq 1$. Ou seja,

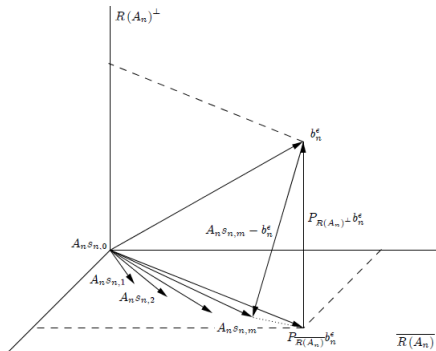
$$\|A_n s_n - b_n^\delta\| < \mu_n \|b_n^\delta\|$$

REGINN

$$b_n^\delta \notin R(A_n)^\perp \implies \left\| P_{R(A_n)^\perp} b_n^\delta \right\| < \|b_n^\delta\|$$

Se $A_n s_{n,m} \rightarrow P_{\overline{R(A_n)}} b_n^\delta$ quando $m \rightarrow \infty$, então

$$\left\| A_n s_{n,m} - b_n^\delta \right\| \longrightarrow \left\| P_{\overline{R(A_n)}} b_n^\delta - b_n^\delta \right\| = \left\| P_{R(A_n)^\perp} b_n^\delta \right\| < \|b_n^\delta\|.$$



REGINN

Teremos para algum $m = m_n$ suficientemente grande e μ_n suficientemente próximo de 1 que $\|A_n s_{n,m} - b_n^\delta\| < \mu_n \|b_n^\delta\|$.
 $s_{n,m}$ aproxima s_n na equação $A_n s_n = b_n$.

Algoritmo (REGINN)

Dados $(x_0^\delta; F, y^\delta; \tau; \delta, (\mu_n))$

Para $n = 0, 1, 2, \dots$

$s_{n,0} := 0;$

Para $m = 0, 1, 2, \dots$

compute $s_{n,m}$ tal que $A_n s_{n,m} \rightarrow P_{R(A_n)} b_n^\delta;$

Até que $\|A_n s_{n,m} - b_n^\delta\| < \mu_n \|b_n^\delta\|$

$x_{n+1}^\delta := x_n^\delta + s_{n,m};$

Até que $\|b_n^\delta\| \leq \tau \delta$

Sumário

- 1 Problemas Inversos Mal Postos
 - Resolução de Problemas Inversos
- 2 REGINN
 - **Análise de Convergência**
 - Taxas de Convergência
- 3 Implementação Numérica do REGINN
 - O Problema Inverso
 - Descrição do Algoritmo
 - Resultados Numéricos
- 4 K-Reginn
 - Métodos tipo Kaczmarz
 - Descrição do Algoritmo
 - O Problema Inverso
 - Resultados Numéricos

REGINN (Análise de Convergência)

Suponha que $(s_{n,m})_m$ satisfaz

- $\langle A_n s_{n,m}; b_n^\delta \rangle > 0, \forall m \geq 1$ se $A_n^* b_n^\delta \neq 0$;
- $\lim_{m \rightarrow \infty} A_n s_{n,m} = P_{R(A_n)} b_n^\delta$;
- $\|A_n s_{n,m}\| \leq \Theta \|b_n^\delta\|, \forall m, n \in \mathbb{N}$ e algum $\Theta \geq 1$.

Assuma que existem constantes $L, \varrho \in [0, 1)$ tais que

- $\|E(v, w)\| \leq L \|F'(w)(v - w)\|$, onde
 $E(v, w) := F(v) - F(w) - F'(w)(v - w)$;
- $\left\| P_{R(F'(u))^\perp} (F(x^+) - F(u)) \right\| \leq \varrho \|F(x^+) - F(u)\|$.

REGINN (Análise de Convergência)

Suponha que $(s_{n,m})_m$ satisfaz

- $\langle A_n s_{n,m}; b_n^\delta \rangle > 0, \forall m \geq 1$ se $A_n^* b_n^\delta \neq 0$;
- $\lim_{m \rightarrow \infty} A_n s_{n,m} = P_{R(A_n)} b_n^\delta$;
- $\|A_n s_{n,m}\| \leq \Theta \|b_n^\delta\|, \forall m, n \in \mathbb{N}$ e algum $\Theta \geq 1$.

Assuma que existem constantes $L, \varrho \in [0, 1)$ tais que

- $\|E(v, w)\| \leq L \|F'(w)(v - w)\|$, onde
 $E(v, w) := F(v) - F(w) - F'(w)(v - w)$;
- $\left\| P_{R(F'(u))^\perp} (F(x^+) - F(u)) \right\| \leq \varrho \|F(x^+) - F(u)\|$.

REGINN (Análise de Convergência)

Se assumirmos que existe $\Lambda < 1$ tal que $\Theta L + \varrho < \Lambda$, definindo

$$\begin{aligned}\tau &> \frac{1 + \varrho}{\Lambda - \Theta L - \varrho} e \\ \mu_{\min} &: = \frac{(1 + \varrho) \delta}{\|b_n^\delta\|} + \varrho,\end{aligned}$$

então tomando $\mu_n \in (\mu_{\min}; \Lambda - \Theta L]$, podemos provar que:

- O REGINN está bem definido e termina;
- Todas as iterações se mantêm numa bola;
- Os resíduos decrescem linearmente segundo a taxa

$$\frac{\|b_{n+1}^\delta\|}{\|b_n^\delta\|} \leq \Lambda < 1.$$

REGINN (Análise de Convergência)

Se assumirmos que existe $\Lambda < 1$ tal que $\Theta L + \varrho < \Lambda$, definindo

$$\begin{aligned}\tau &> \frac{1 + \varrho}{\Lambda - \Theta L - \varrho} e \\ \mu_{\min} &: = \frac{(1 + \varrho) \delta}{\|b_n^\delta\|} + \varrho,\end{aligned}$$

então tomando $\mu_n \in (\mu_{\min}; \Lambda - \Theta L]$, podemos provar que:

- O REGINN está bem definido e termina;
- Todas as iterações se mantêm numa bola;
- Os resíduos decrescem linearmente segundo a taxa

$$\frac{\|b_{n+1}^\delta\|}{\|b_n^\delta\|} \leq \Lambda < 1.$$

REGINN (Análise de Convergência)

Se assumirmos que existe $\Lambda < 1$ tal que $\Theta L + \varrho < \Lambda$, definindo

$$\tau > \frac{1 + \varrho}{\Lambda - \Theta L - \varrho} e$$
$$\mu_{\min} : = \frac{(1 + \varrho) \delta}{\|b_n^\delta\|} + \varrho,$$

então tomando $\mu_n \in (\mu_{\min}; \Lambda - \Theta L]$, podemos provar que:

- O REGINN está bem definido e termina;
- Todas as iterações se mantêm numa bola;
- Os resíduos decrescem linearmente segundo a taxa

$$\frac{\|b_{n+1}^\delta\|}{\|b_n^\delta\|} \leq \Lambda < 1.$$

REGINN (Análise de Convergência)

Se assumirmos que existe $\Lambda < 1$ tal que $\Theta L + \varrho < \Lambda$, definindo

$$\begin{aligned}\tau &> \frac{1 + \varrho}{\Lambda - \Theta L - \varrho} e \\ \mu_{\min} &: = \frac{(1 + \varrho) \delta}{\|b_n^\delta\|} + \varrho,\end{aligned}$$

então tomando $\mu_n \in (\mu_{\min}; \Lambda - \Theta L]$, podemos provar que:

- O REGINN está bem definido e termina;
- Todas as iterações se mantêm numa bola;
- Os resíduos decrescem linearmente segundo a taxa

$$\frac{\|b_{n+1}^\delta\|}{\|b_n^\delta\|} \leq \Lambda < 1.$$

REGINN (Análise de Convergência)

Suponha que

- $s_{n,0} := 0$ e $s_{n,m} = s_{n,m-1} + A_n^* v_{n,m-1}$ com $v_{n,m-1} \in Y$;
- Existe $\Psi : \mathbb{R} \rightarrow \mathbb{R}$ contínua e monotonamente crescente com $t \leq \Psi(t)$, $t \in [0, 1]$ tal que se $\beta_n := \frac{\|A_n e_n - b_n^\delta\|}{\|b_n^\delta\|} < 1$ então

$$\|s_{n,m} - e_n\|^2 - \|s_{n,m-1} - e_n\|^2 < C_M \|b_n^\delta\| \cdot \|v_{n,m-1}\| z_{n,m},$$

onde $e_n := x^+ - x_n^\delta$ e $z_{n,m} := \Psi(\beta_n) - \frac{\|A_n s_{n,m-1} - b_n^\delta\|}{\|b_n^\delta\|}$;

- $\lim_{\delta \rightarrow 0} s_{n,m}^\delta = s_{n,m}$, para cada $m \leq m_n$ fixado.

REGINN (Análise de Convergência)

Suponha que

- $s_{n,0} := 0$ e $s_{n,m} = s_{n,m-1} + A_n^* v_{n,m-1}$ com $v_{n,m-1} \in Y$;
- Existe $\Psi : \mathbb{R} \rightarrow \mathbb{R}$ contínua e monotonamente crescente com $t \leq \Psi(t)$, $t \in [0, 1]$ tal que se $\beta_n := \frac{\|A_n e_n - b_n^\delta\|}{\|b_n^\delta\|} < 1$ então

$$\|s_{n,m} - e_n\|^2 - \|s_{n,m-1} - e_n\|^2 < C_M \|b_n^\delta\| \cdot \|v_{n,m-1}\| z_{n,m},$$

onde $e_n := x^+ - x_n^\delta$ e $z_{n,m} := \Psi(\beta_n) - \frac{\|A_n s_{n,m-1} - b_n^\delta\|}{\|b_n^\delta\|}$;

- $\lim_{\delta \rightarrow 0} s_{n,m}^\delta = s_{n,m}$, para cada $m \leq m_n$ fixado.

REGINN (Análise de Convergência)

Suponha que

- $s_{n,0} := 0$ e $s_{n,m} = s_{n,m-1} + A_n^* v_{n,m-1}$ com $v_{n,m-1} \in Y$;
- Existe $\Psi : \mathbb{R} \rightarrow \mathbb{R}$ contínua e monotonamente crescente com $t \leq \Psi(t)$, $t \in [0, 1]$ tal que se $\beta_n := \frac{\|A_n e_n - b_n^\delta\|}{\|b_n^\delta\|} < 1$ então

$$\|s_{n,m} - e_n\|^2 - \|s_{n,m-1} - e_n\|^2 < C_M \|b_n^\delta\| \cdot \|v_{n,m-1}\| z_{n,m},$$

onde $e_n := x^+ - x_n^\delta$ e $z_{n,m} := \Psi(\beta_n) - \frac{\|A_n s_{n,m-1} - b_n^\delta\|}{\|b_n^\delta\|}$;

- $\lim_{\delta \rightarrow 0} s_{n,m}^\delta = s_{n,m}$, para cada $m \leq m_n$ fixado.

REGINN (Análise de Convergência)

Então é possível provar que:

- O erro é monotonamente decrescente, isto é,
$$\|x^+ - x_n^\delta\| < \|x^+ - x_{n-1}^\delta\|;$$
- tomando $\mu_n \in [\underline{\mu}; \Lambda - \Theta L)$ com $\underline{\mu} > \mu_{\min}$, prova-se que

$$x_{N(\delta)} \longrightarrow x^+, \quad \delta \longrightarrow 0.$$

REGINN (Análise de Convergência)

Então é possível provar que:

- O erro é monotonamente decrescente, isto é,
 $\|x^+ - x_n^\delta\| < \|x^+ - x_{n-1}^\delta\|$;
- tomando $\mu_n \in [\underline{\mu}; \Lambda - \Theta L)$ com $\underline{\mu} > \mu_{\min}$, prova-se que

$$x_{N(\delta)} \longrightarrow x^+, \quad \delta \longrightarrow 0.$$

REGINN (Análise de Convergência)

Uma maneira de definir $(s_{n,m})_m$ é $s_{n,m} := g_m(A_n^* A_n) A_n^* b_n^\delta$, com $g_m : [0, \|A_n\|^2] \rightarrow \mathbb{R}$ contínua por partes satisfazendo

$$\begin{aligned} |t g_m(t)| &\leq C_g, \\ g_m(t) &\rightarrow \frac{1}{t} \text{ pontualmente para todo } t > 0. \end{aligned}$$

Algumas possíveis escolhas de g_m são:

- Tikhonov:

$$g_m(t) := \frac{1}{t + \gamma_m}, \gamma_m > 0 \text{ e } \gamma_m \rightarrow 0 \text{ quando } m \rightarrow \infty$$

REGINN (Análise de Convergência)

Uma maneira de definir $(s_{n,m})_m$ é $s_{n,m} := g_m(A_n^* A_n) A_n^* b_n^\delta$, com $g_m : [0, \|A_n\|^2] \rightarrow \mathbb{R}$ contínua por partes satisfazendo

$$\begin{aligned} |t g_m(t)| &\leq C_g, \\ g_m(t) &\rightarrow \frac{1}{t} \text{ pontualmente para todo } t > 0. \end{aligned}$$

Algumas possíveis escolhas de g_m são:

- Tikhonov:

$$g_m(t) := \frac{1}{t + \gamma_m}, \gamma_m > 0 \text{ e } \gamma_m \rightarrow 0 \text{ quando } m \rightarrow \infty$$

REGINN (Análise de Convergência)

- Decomposição em Valores Singulares Truncada:

$$g_m(t) := \begin{cases} \frac{1}{t}, & \text{se } t \geq \frac{1}{m} \\ 0, & \text{se } t < \frac{1}{m} \end{cases}$$

- Landweber:

$$g_m(t) := \sum_{j=0}^{m-1} (1-t)^j, \text{ com } \|A_n\| \leq 1.$$

Também podemos usar o método da máxima descida ou do gradiente conjugado, entre outros.

REGINN (Análise de Convergência)

- Decomposição em Valores Singulares Truncada:

$$g_m(t) := \begin{cases} \frac{1}{t}, & \text{se } t \geq \frac{1}{m} \\ 0, & \text{se } t < \frac{1}{m} \end{cases}$$

- Landweber:

$$g_m(t) := \sum_{j=0}^{m-1} (1-t)^j, \text{ com } \|A_n\| \leq 1.$$

Também podemos usar o método da máxima descida ou do gradiente conjugado, entre outros.

REGINN (Análise de Convergência)

- Decomposição em Valores Singulares Truncada:

$$g_m(t) := \begin{cases} \frac{1}{t}, & \text{se } t \geq \frac{1}{m} \\ 0, & \text{se } t < \frac{1}{m} \end{cases}$$

- Landweber:

$$g_m(t) := \sum_{j=0}^{m-1} (1-t)^j, \text{ com } \|A_n\| \leq 1.$$

Também podemos usar o método da máxima descida ou do gradiente conjugado, entre outros.

Sumário

- 1 Problemas Inversos Mal Postos
 - Resolução de Problemas Inversos
- 2 REGINN
 - Análise de Convergência
 - Taxas de Convergência
- 3 Implementação Numérica do REGINN
 - O Problema Inverso
 - Descrição do Algoritmo
 - Resultados Numéricos
- 4 K-Reginn
 - Métodos tipo Kaczmarz
 - Descrição do Algoritmo
 - O Problema Inverso
 - Resultados Numéricos

REGINN (Taxas de Convergência)

Restrinja a iteração interna do REGINN para

$s_{n,m} := g_m(A_n^* A_n) A_n^* b_n^\delta$, com $g_m : J \rightarrow \mathbb{R}$ contínua por partes satisfazendo

$$(a) \sup_{t \in J} |g_m(t)| \leq C_g m^\alpha;$$

$$(b) \sup_{t \in J} |t p_m(t)| \leq C_p m^{-\alpha};$$

$$(c) \sup_{t \in J} |p_m(t)| = 1.$$

com $J := [0, \|A_n\|^2]$, $\alpha > 0$ e $p_m(t) := 1 - t g_m(t)$.

REGINN (Taxas de Convergência)

Assuma as condições sobre a não linearidade de F

$$\begin{aligned} (A) \quad & \|F'(v)\| \leq 1, \forall v \in D(F), \\ (B) \quad & F'(v) = Q(v, w) F'(w) \text{ e } \\ & \|I - Q(v, w)\| \leq C_Q \|v - w\| \end{aligned}$$

para todo $v, w \in B_\rho(x^+)$, para algum $\rho > 0$, onde
 $Q: X \times X \rightarrow B(Y, Y)$.

REGINN (Taxas de Convergência)

Com as hipóteses acima, é possível provar que existe um número positivo $\lambda_{\min} < 1$ tal que a condição de fonte do tipo Hölder

$$x^+ - x_0 \in R\left((A^*A)^{\frac{\lambda}{2}}\right) \text{ para } \lambda \in (\lambda_{\min}, 1],$$

implica na taxa de convergência

$$\|x_{N(\delta)} - x^+\| = O\left(\delta^{\frac{\lambda - \lambda_{\min}}{1 + \lambda}}\right), \delta \rightarrow 0.$$

Sumário

- 1 Problemas Inversos Mal Postos
 - Resolução de Problemas Inversos
- 2 REGINN
 - Análise de Convergência
 - Taxas de Convergência
- 3 Implementação Numérica do REGINN
 - O Problema Inverso
 - Descrição do Algoritmo
 - Resultados Numéricos
- 4 K-Reginn
 - Métodos tipo Kaczmarz
 - Descrição do Algoritmo
 - O Problema Inverso
 - Resultados Numéricos

Sumário

- 1 Problemas Inversos Mal Postos
 - Resolução de Problemas Inversos
- 2 REGINN
 - Análise de Convergência
 - Taxas de Convergência
- 3 Implementação Numérica do REGINN
 - O Problema Inverso
 - Descrição do Algoritmo
 - Resultados Numéricos
- 4 K-Reginn
 - Métodos tipo Kaczmarz
 - Descrição do Algoritmo
 - O Problema Inverso
 - Resultados Numéricos

O Problema Inverso

O algoritmo REGINN com a iteração interna de Landweber foi utilizado para identificar o parâmetro a na equação diferencial

$$\begin{cases} -(au')' = f \text{ em } \Omega := (0, 1) \\ u(0) = u(1) = 0 \end{cases} . \quad (3)$$

Podemos definir a função

$$\begin{aligned} F : D(F) &\rightarrow L^2(\Omega) \\ a &\mapsto u_a \end{aligned}$$

onde

$D(F) := \{a \in H^1(\Omega) : a(x) \geq \underline{a} \text{ quase sempre em } \Omega\} \subset L^2(\Omega)$
 e u_a é a única solução de (3).

O Problema Inverso

O algoritmo REGINN com a iteração interna de Landweber foi utilizado para identificar o parâmetro a na equação diferencial

$$\begin{cases} -(au')' = f \text{ em } \Omega := (0, 1) \\ u(0) = u(1) = 0 \end{cases} . \quad (3)$$

Podemos definir a função

$$\begin{aligned} F : D(F) &\rightarrow L^2(\Omega) \\ a &\mapsto u_a \end{aligned}$$

onde

$D(F) := \{a \in H^1(\Omega) : a(x) \geq \underline{a} \text{ quase sempre em } \Omega\} \subset L^2(\Omega)$
 e u_a é a única solução de (3).

O Problema Inverso

Fixada uma função $f \in L^2(\Omega)$, gostaríamos de determinar no **problema direto**, a função $u \in H_0^1(\Omega) \cap H^2(\Omega)$ na equação

$$F(a) = u,$$

dada a função $a \in D(F)$.

No **problema inverso**, temos disponível a função $u \in H_0^1(\Omega) \cap H^2(\Omega)$ e gostaríamos de determinar $a \in D(F)$ satisfazendo a equação acima.

Observação

O problema inverso é mal posto.

O Problema Inverso

Fixada uma função $f \in L^2(\Omega)$, gostaríamos de determinar no **problema direto**, a função $u \in H_0^1(\Omega) \cap H^2(\Omega)$ na equação

$$F(a) = u,$$

dada a função $a \in D(F)$.

No **problema inverso**, temos disponível a função $u \in H_0^1(\Omega) \cap H^2(\Omega)$ e gostaríamos de determinar $a \in D(F)$ satisfazendo a equação acima.

Observação

O problema inverso é mal posto.

O Problema Inverso

- F é continuamente Fréchet diferenciável;
- A condição do cone tangencial

$$\|E(\tilde{a}, a)\|_{L^2} \leq \omega \|F(\tilde{a}) - F(a)\|_{L^2}$$

é satisfeita com $\omega < 1$ se \tilde{a} e a estiverem suficientemente próximos.

Podemos tomar $\mu_n \in \left(\omega + \frac{(1+\omega)\delta}{\|b_n^\delta\|}, 1 \right]$ e $\tau \geq \frac{1+\omega}{1-\omega}$.

O Problema Inverso

- F é continuamente Fréchet diferenciável;
- A condição do cone tangencial

$$\|E(\tilde{a}, a)\|_{L^2} \leq \omega \|F(\tilde{a}) - F(a)\|_{L^2}$$

é satisfeita com $\omega < 1$ se \tilde{a} e a estiverem suficientemente próximos.

Podemos tomar $\mu_n \in \left(\omega + \frac{(1+\omega)\delta}{\|b_n^\delta\|}, 1 \right]$ e $\tau \geq \frac{1+\omega}{1-\omega}$.

O Problema Inverso

- F é continuamente Fréchet diferenciável;
- A condição do cone tangencial

$$\|E(\tilde{a}, a)\|_{L^2} \leq \omega \|F(\tilde{a}) - F(a)\|_{L^2}$$

é satisfeita com $\omega < 1$ se \tilde{a} e a estiverem suficientemente próximos.

Podemos tomar $\mu_n \in \left(\omega + \frac{(1+\omega)\delta}{\|b_n^\delta\|}, 1 \right]$ e $\tau \geq \frac{1+\omega}{1-\omega}$.

Sumário

- 1 Problemas Inversos Mal Postos
 - Resolução de Problemas Inversos
- 2 REGINN
 - Análise de Convergência
 - Taxas de Convergência
- 3 Implementação Numérica do REGINN
 - O Problema Inverso
 - **Descrição do Algoritmo**
 - Resultados Numéricos
- 4 K-Reginn
 - Métodos tipo Kaczmarz
 - Descrição do Algoritmo
 - O Problema Inverso
 - Resultados Numéricos

Descrição do Algoritmo

Algoritmo

Dados $(a_0^\delta; \delta; u^\delta; \omega; f)$

$\tau := \frac{1+\omega}{1-\omega};$

Para $n = 0, 1, 2, \dots$

$s_{n,m} := 0; \text{ Tome } \mu_n \in \left(\omega + \frac{(1+\omega)\delta}{\|b_n^\delta\|}, 1 \right];$

Para $m = 0, 1, 2, \dots$

$s_{n,m+1} := s_{n,m} - A_n^* (A_n s_{n,m} - b_n^\delta);$

$m := m + 1;$

Até que $\|A_n s_{n,m} - b_n^\delta\| < \mu_n \|b_n^\delta\|$

$a_{n+1}^\delta := a_n^\delta + s_{n,m};$

$n := n + 1;$

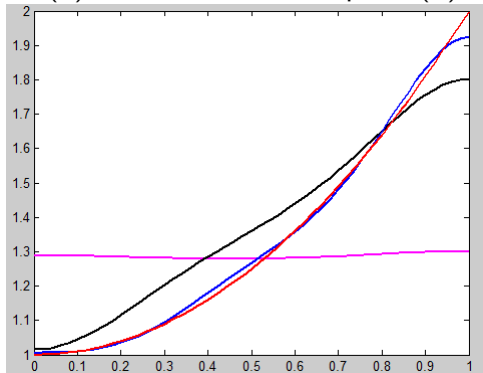
Até que $\|b_n^\delta\| \leq \tau \delta$

Sumário

- 1 Problemas Inversos Mal Postos
 - Resolução de Problemas Inversos
- 2 REGINN
 - Análise de Convergência
 - Taxas de Convergência
- 3 **Implementação Numérica do REGINN**
 - O Problema Inverso
 - Descrição do Algoritmo
 - **Resultados Numéricos**
- 4 K-Reginn
 - Métodos tipo Kaczmarz
 - Descrição do Algoritmo
 - O Problema Inverso
 - Resultados Numéricos

Resultados Numéricos

O programa foi testado utilizando-se as funções exatas $a^+(x) = 1 + x^2$ e $f(x) = -6x^2 + 2x - 2$, sendo que a solução de (3) nesse caso é dada por $u(x) = x^2 - x$.



Resultados Numéricos

Na primeira tabela, a_0 satisfaz a condição de fonte $a^+ - a_0 \in R \left((A^* A)^{\frac{1}{2}} \right)$ e na segunda temos $a_0 \equiv 1$, que não satisfaz essa condição. Em ambos os casos, $\|a^+ - a_0\|_{L^2(\Omega)} = \frac{1}{\sqrt{5}}$.

δ	$N(\delta)$	I
10^{-1}	0	0
10^{-2}	11	156
10^{-3}	15	376
10^{-4}	22	8100
10^{-5}	29	89115
10^{-6}	36	713743

δ	$N(\delta)$	I
10^{-1}	0	0
10^{-2}	5	36
10^{-3}	17	7578
10^{-4}	26	130011
10^{-5}	35	$8 \cdot 10^6$
10^{-6}	> 50	$> 10^8$

δ versus número total de iterações externas e internas

Sumário

- 1 Problemas Inversos Mal Postos
 - Resolução de Problemas Inversos
- 2 REGINN
 - Análise de Convergência
 - Taxas de Convergência
- 3 Implementação Numérica do REGINN
 - O Problema Inverso
 - Descrição do Algoritmo
 - Resultados Numéricos
- 4 K-Reginn
 - Métodos tipo Kaczmarz
 - Descrição do Algoritmo
 - O Problema Inverso
 - Resultados Numéricos

Kaczmarz-Reginn

Considere o sistema de equações

$$F_i(x) = y_i^{\delta_i}, i = 1, \dots, p.$$

Seja

$$\delta = \max_{1 \leq i \leq p} \{\delta_i\}.$$

Objetivo: Determinar $x_\delta \approx x^+$, onde

$$F_i(x^+) = y_i, \text{ com } \left\| y_i - y_i^{\delta_i} \right\| \leq \delta_i, i = 1, \dots, p,$$

de modo que $x_\delta \rightarrow x^+$ quando $\delta \rightarrow 0$.

Sumário

- 1 Problemas Inversos Mal Postos
 - Resolução de Problemas Inversos
- 2 REGINN
 - Análise de Convergência
 - Taxas de Convergência
- 3 Implementação Numérica do REGINN
 - O Problema Inverso
 - Descrição do Algoritmo
 - Resultados Numéricos
- 4 K-Reginn
 - Métodos tipo Kaczmarz
 - Descrição do Algoritmo
 - O Problema Inverso
 - Resultados Numéricos

Métodos tipo Kaczmarz

$$\begin{array}{ccccccc}
 x_0 & \xrightarrow{F_1(x)=y_1^{\delta_1}} & x_1 & \xrightarrow{F_2(x)=y_2^{\delta_2}} & \dots & \xrightarrow{F_p(x)=y_p^{\delta_p}} & x_p & \text{Ciclo 1} \\
 x_p & \xrightarrow{F_1(x)=y_1^{\delta_1}} & x_{p+1} & \xrightarrow{F_2(x)=y_2^{\delta_2}} & \dots & \xrightarrow{F_p(x)=y_p^{\delta_p}} & x_{2p} & \text{Ciclo 2} \\
 \cdot & & & & & & & \\
 \cdot & & & & & & & \\
 \cdot & & & & & & & \\
 x_{(n-1)p} & \xrightarrow{F_1(x)=y_1^{\delta_1}} & x_{(n-1)p+1} & \xrightarrow{F_2(x)=y_2^{\delta_2}} & \dots & \xrightarrow{F_p(x)=y_p^{\delta_p}} & x_{np} & \text{Ciclo } n
 \end{array}$$

Sumário

- 1 Problemas Inversos Mal Postos
 - Resolução de Problemas Inversos
- 2 REGINN
 - Análise de Convergência
 - Taxas de Convergência
- 3 Implementação Numérica do REGINN
 - O Problema Inverso
 - Descrição do Algoritmo
 - Resultados Numéricos
- 4 K-Reginn
 - Métodos tipo Kaczmarz
 - **Descrição do Algoritmo**
 - O Problema Inverso
 - Resultados Numéricos

Descrição do Algoritmo (K-Reginn)

Dados $(F_i, y_i^{\delta_i}, \delta_i, x_0, \tau, (\mu_n))$

$n := 0; k := 0; i = 1;$

[Enquanto $k < p$

$m := 0; s_{n,m} := 0;$

[Se $\|F_i(x_n) - y_i^{\delta_i}\| < \tau\delta$

$k := k + 1;$

[Senão

$m := m + 1;$ Calcule $s_{n,m};$

Até que $\|A_{i,n}s_{n,m} - b_n^{\delta_i}\| < \mu_n \|b_n^{\delta_i}\|$

$k := 0;$

$i = p \implies i = 1;$

$i < p \implies i = i + 1;$

$x_{n+1} := x_n + s_{n,m}; n := n + 1;$

Sumário

- 1 Problemas Inversos Mal Postos
 - Resolução de Problemas Inversos
- 2 REGINN
 - Análise de Convergência
 - Taxas de Convergência
- 3 Implementação Numérica do REGINN
 - O Problema Inverso
 - Descrição do Algoritmo
 - Resultados Numéricos
- 4 K-Reginn
 - Métodos tipo Kaczmarz
 - Descrição do Algoritmo
 - **O Problema Inverso**
 - Resultados Numéricos

O Problema Inverso

$$\begin{cases} -\nabla (a\nabla u) = 0 & \text{em } \Omega \\ u = U_i & \text{em } \Gamma_{1i}, i = 1, 2, 3, 4, \\ u = 0 & \text{em } \Gamma_{2i} \end{cases} \quad (4)$$

onde $\Omega := (0, 1) \times (0, 1) \subset \mathbb{R}^2$.

Problema direto: Dada a condutividade elétrica $a \in L_+^\infty(\Omega)$, encontre o operador DpN $\Lambda_a : H^{1/2}(\partial\Omega) \rightarrow H^{-1/2}(\partial\Omega)$ que a cada voltagem $U_i \in H^{1/2}(\partial\Omega)$ associa a corrente elétrica resultante $-au_\nu|_{\partial\Omega}$, onde u é solução de (4).

Problema inverso: Dado o operador DpN Λ_a , determine a condutividade elétrica a .

Sumário

- 1 Problemas Inversos Mal Postos
 - Resolução de Problemas Inversos
- 2 REGINN
 - Análise de Convergência
 - Taxas de Convergência
- 3 Implementação Numérica do REGINN
 - O Problema Inverso
 - Descrição do Algoritmo
 - Resultados Numéricos
- 4 K-Reginn
 - Métodos tipo Kaczmarz
 - Descrição do Algoritmo
 - O Problema Inverso
 - Resultados Numéricos

Resultados Numéricos

Comportamento das soluções encontradas com diversos percentuais de ruídos diferentes.

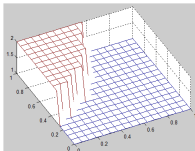
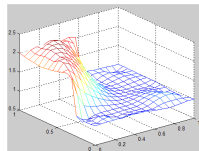
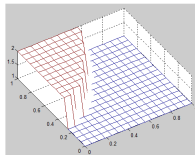
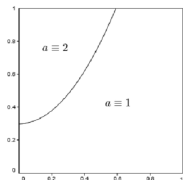
Iteração interna utilizando o método de Landweber.

$$a^+(x, y) = \begin{cases} 2, & \text{se } y > 2x^2 + 0,3 \\ 1, & \text{caso contrário} \end{cases}, \quad a_0 \equiv 1,5 \text{ e } \tau = 2,5.$$





Ruídos (%)	Ciclos	Total It. Internas	$\ a_{N(\delta)} - a^+\ _{L^2(\Omega)}$
4,0	03	2.142	0,121
2,0	04	2.223	0,112
1,0	12	5.547	0,093
0,5	24	12.043	0,074

Resultados Numéricos

Figuras superiores: função a^+ a ser reconstruída;
Figuras inferiores: função $a_{N(\delta)}$ reconstruída usando 1% de ruídos (original à esquerda e ajustada à direita)



Referências Bibliográficas

-  A. Lechleiter, A. Rieder. *Newton Regularizations for Impedance Tomography: a numerical study*. Inverse Problems 22 (2006), 1967-1987.
-  A. Lechleiter, A. Rieder. *Towards a general convergence Theory of Inexact Newton Regularizations*. Numerische Mathematik 114 (2010), 521-548.
-  A. Rieder. *On Convergence Rates of Inexact Newton Regularizations*. Numerische Mathematik 88 (2001), 347-365.
-  A. Rieder. *On the regularization of nonlinear ill-posed problems via inexact Newton iterations*. Inverse Problems 15 (1999), 309-327.